

3. Sarkar S. and Sim S. M. A deeper understanding of the XOR count distribution in the context of lightweight cryptography // LNCS. 2016. V. 9646. P. 167–182.
4. Toh D., Teo J., Khoo K., and Sim S. M. Lightweight MDS serial-type matrices with minimal fixed XOR count // LNCS. 2018. V. 10831. P. 51–71.
5. Gupta K. C. and Ray I. G. On constructions of MDS matrices from companion matrices for lightweight cryptography // LNCS. 2013. V. 8128. P. 29–43.

УДК 519.688

DOI 10.17223/2226308X/12/60

## ВЫЧИСЛИТЕЛЬНЫЕ ЭКСПЕРИМЕНТЫ В КОНЕЧНЫХ ДВУПОРОЖДЁННЫХ БЕРНСАЙДОВЫХ ГРУППАХ ПЕРИОДА 5

А. А. Кузнецов

Пусть  $B_0(2, 5) = \langle a_1, a_2 \rangle$  — наибольшая конечная двупорождённая бернсайдова группа периода 5, порядок которой равен  $5^{34}$ . Для каждого элемента данной группы существует единственное представление вида  $a_1^{\alpha_1} \cdot a_2^{\alpha_2} \cdot \dots \cdot a_{34}^{\alpha_{34}}$ , где  $\alpha_i \in \mathbb{Z}_5$ ,  $i = 1, 2, \dots, 34$ . Здесь  $a_1$  и  $a_2$  — порождающие элементы  $B_0(2, 5)$ ,  $a_3, \dots, a_{34}$  — коммутаторы, которые вычисляются рекурсивно через  $a_1$  и  $a_2$ . Определим факторгруппу группы  $B_0(2, 5)$  следующего вида:  $B_k = B_0(2, 5) / \langle a_{k+1}, \dots, a_{34} \rangle$ . Очевидно, что  $|B_k| = 5^k$ . На основе проведённых вычислительных экспериментов сформулирована гипотеза о диаметре группы  $B_k$  для симметричного порождающего множества  $\{a_1, a_1^{-1}, a_2, a_2^{-1}\}$ .

**Ключевые слова:** функция роста группы, группа Бернсайда.

Настоящая работа продолжает исследования, начатые в [1, 2], которые посвящены разработке алгоритмов для исследования роста в конечных двупорождённых группах периода 5. В [1] основной упор сделан на создании алгоритмов минимальной вычислительной сложности, а в [2] разработан ресурсно-эффективный алгоритм, который имеет низкую пространственную сложность и сохраняет вычислительную сложность на приемлемом уровне.

Напомним основные определения [1]. Пусть  $G = \langle X \rangle$ . Шаром  $K_s$  радиуса  $s$  группы  $G$  будем называть множество всех её элементов, которые могут быть представлены в алфавите  $X$  в виде несократимых групповых слов длины не больше  $s$ . Все элементы одинаковой длины  $i$  образуют сферу  $P_i$  радиуса  $i$ . Единица группы  $e$  является пустым словом, длина которого равна нулю. Согласно данным определениям,  $K_s = \bigcup_{i=0}^s P_i$ .

Для каждого целого неотрицательного  $i$  можно определить (сферическую) функцию роста группы  $F(G)$ , которую будем записывать в виде вектора  $F(G) = (F_0, F_1, \dots, F_i, \dots)$ , где  $F_i = |P_i|$ . Пусть  $F_{s_0} > 0$ , но  $F_{s_0+1} = 0$ , тогда  $s_0$  является диаметром графа Кэли группы  $G$  в алфавите порождающих  $X$ , который будем обозначать  $D_X(G)$ . Средний диаметр  $\bar{D}_X(G)$  равен  $\frac{1}{|G|} \sum_{s=0}^{s_0} s F_s$ .

Заметим, что решение некоторых задач теории кодирования и криптографии сводится к исследованию соответствующих графов Кэли. Например, открытая проблема эффективного восстановления вершин в графе Хэмминга является одной из таких задач [3].

Кратко опишем алгоритмы из [1, 2].

Алгоритм 1 вычисляет шар  $K_s$  фиксированного радиуса  $s$  произвольной конечной группы  $G$ , заданной порождающим множеством  $X$ . Данный алгоритм имеет низкую

вычислительную сложность, однако при его реализации каждый элемент группы необходимо хранить в памяти компьютера, и если группа имеет большой порядок, то применение алгоритма 1 становится невозможным.

Пусть  $\varphi$  — гомоморфизм  $G$  на группу  $Q$  и  $N$  — ядро  $\varphi$ , т. е.  $Q = G/N$ . По аналогии с группой, для каждого смежного класса  $qN$  определим сферу  $P_i(q)$ , шар  $K_s(q)$  и функцию роста  $F_i(q)$ :

$$P_i(q) = \{g : g \in P_i \text{ и } \varphi(g) = q\}, \quad K_s(q) = \bigcup_{i=0}^s P_i(q), \quad F_i(q) = |P_i(q)|.$$

Пусть  $F_d(q) > 0$ , но  $F_{d+1}(q) = 0$ , тогда  $d$  будем называть диаметром смежного класса  $qN$  и обозначать  $D_X(qN)$ .

Если  $Q$  — сравнительно большая группа, то множество  $K_{2s}(q)$  будет значительно меньше, чем  $K_{2s}(G)$ . Данный факт взят за основу построения алгоритма 2, который, получив на входе шар  $K_s$  группы  $G$  радиуса  $s$ , фактор-группу  $Q = G/N$  и некоторый элемент  $q \in Q$ , возвращает функцию роста  $F(q) = (F_0(q), \dots, F_{2s}(q))$  для шара  $K_{2s}(q)$  смежного класса  $qN$  радиуса  $2s$ .

Объединив алгоритмы 1 и 2, получим алгоритм 3, который вычисляет функцию роста  $F(G) = \sum_{q \in Q} F(q)$  шара  $K_{2s}$  фиксированного радиуса  $2s$  произвольной конечной группы  $G$ , заданной порождающим множеством  $X$ .

Пусть  $B_0(2, 5) = \langle a_1, a_2 \rangle$  — максимальная конечная двупорождённая бернсайдова группа периода 5, порядок которой равен  $5^{34}$  [4]. При помощи системы компьютерной алгебры GAP легко получить коммутаторное представление данной группы [5]. В этом случае каждый элемент  $g \in B_0(2, 5)$  может быть однозначно записан в виде  $a_1^{\alpha_1} \cdot a_2^{\alpha_2} \cdot \dots \cdot a_{34}^{\alpha_{34}}$ , где  $\alpha_i \in \mathbb{Z}_5$  и  $i = 1, 2, \dots, 34$ . Здесь  $a_1$  и  $a_2$  — порождающие элементы  $B_0(2, 5)$ ;  $a_3, \dots, a_{34}$  — коммутаторы, которые вычисляются рекурсивно через  $a_1$  и  $a_2$  [4].

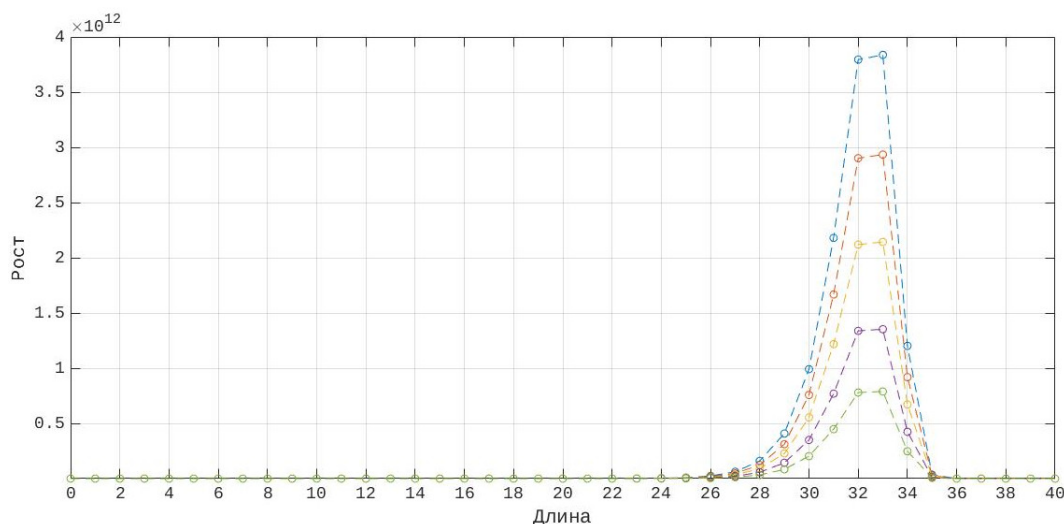
Определим фактор-группу  $B_k = B_0(2, 5) / \langle a_{k+1}, \dots, a_{34} \rangle$ . Очевидно, что  $|B_k| = 5^k$  и  $g = a_1^{\alpha_1} \cdot a_2^{\alpha_2} \cdot \dots \cdot a_k^{\alpha_k}$  для всех  $g \in B_k$ .

Пусть  $A_4 = \{a_1, a_1^{-1}, a_2, a_2^{-1}\}$  — симметричное порождающее множество групп  $B_k$ .

Отметим, что на сегодняшний день при помощи компьютерных вычислений удалось получить функции роста групп  $B_k$  при  $k \leq 19$  [1, 2]. В настоящее время ведутся расчёты функции роста группы  $B_{20} = \langle A_4 \rangle$  по алгоритму 3, при этом  $s = 20$ ,  $Q = B_{10}$  и  $N = \langle a_{11}, \dots, a_{20} \rangle$ .

При суммировании получаемых функций роста  $F(q)$  смежных классов  $qN$  отмечено, что, начиная с некоторого шага (не более 10 % от порядка группы), промежуточные функции роста группы  $F(B_{20})$  сохраняют области возрастания и убывания. Рис. 1 наглядно отражает данный факт. Вычислительные эксперименты в группах  $B_k$  при  $k \leq 19$  показали, что и в них промежуточные функции роста ведут себя аналогично. Кроме того, выяснилось, что при  $k \leq 19$  смежный класс  $eN_k$  всегда включает слова максимальной длины группы, на основании чего можно сформулировать гипотезу для всех  $2 \leq k \leq 34$ :

**Гипотеза 1.**  $D_{A_4}(eN_k) = D_{A_4}(B_k)$ , где  $|N_k| \sim |Q_k| \sim |B_k|^{1/2}$ .

Рис. 1. Промежуточные функции роста  $F(B_{20})$ 

Результаты вычислительных экспериментов в группах  $B_k$  при  $20 \leq k \leq 25$  представлены в таблице.

$k$	20	21	22	23	24	25
$D_{A_4}(eN_k)$	38	39	41	44	44	46

Если гипотеза верна, то значения диаметров смежных классов  $eN_k$  в таблице равны диаметрам соответствующих групп  $B_k$  относительно порождающего множества  $A_4$ .

#### ЛИТЕРАТУРА

1. Кузнецов А. А. Об одном алгоритме вычисления функций роста в конечных двупорождённых группах периода 5 // Прикладная дискретная математика. 2016. № 3(33). С. 116–125.
2. Кузнецов А. А., Кузнецова А. С. Ресурсно-эффективный алгоритм для исследования роста в конечных двупорождённых группах периода 5 // Прикладная дискретная математика. 2018. № 42. С. 94–103.
3. Константинова Е. В. Комбинаторные задачи на графах Кэли. Новосибирск: НГУ, 2010. 110 с.
4. Havas G., Wall G., and Wamsley J. The two generator restricted Burnside group of exponent five // Bull. Austral. Math. Soc. 1974. No. 10. P. 459–470.
5. Sims C. Computation with Finitely Presented Groups. Cambridge: Cambridge University Press, 1994. 628 p.

УДК 512.55

DOI 10.17223/2226308X/12/61

### СРАВНИТЕЛЬНЫЙ АНАЛИЗ ЭФФЕКТИВНОСТИ РЕШЕНИЯ ПСЕВДОБУЛЕВЫХ СИСТЕМ ЛИНЕЙНЫХ НЕРАВЕНСТВ АЛГОРИТМАМИ ИМИТАЦИИ ОТЖИГА, БАЛАША И ВНУТРЕННЕЙ ТОЧКИ

Г. О. Маняев, А. Н. Шурупов

Целью работы является разработка и исследование надёжности релаксационного алгоритма решения псевдобулевых систем линейных неравенств, построенного